



Министерство науки и высшего образования Российской Федерации
федеральное государственное бюджетное образовательное учреждение
высшего профессионального образования
«Московский государственный технический университет имени
Н.Э. Баумана (национальный исследовательский университет)»
(МГТУ им. Н.Э. Баумана)

ФАКУЛЬТЕТ «Робототехники и комплексной автоматизации»
КАФЕДРА «Системы автоматизированного проектирования (РК-6)»

ОТЧЕТ О ВЫПОЛНЕНИИ ЛАБОРАТОРНОЙ РАБОТЫ по дисциплине «Вычислительная математика»

Студент:	Степанов Никита Николаевич
Группа:	РК6-55Б
Тип задания:	лабораторная работа
Тема:	Интерполяция в условиях измерений с неопределенностью (вариант 5)

Студент

подпись, дата

Степанов Н. Н.
Фамилия, И.О.

Преподаватель

подпись, дата

Фамилия, И.О.

Москва, 2021

Содержание

Интерполяция в условиях измерений с неопределенностью (вариант 5)	3
1 Цель выполнения лабораторной работы	6
2 Знакомство с интерполяцией	6
1. Коэффициенты естественного кубического сплайна	6
2. Значение кубического сплайна и его производной в точке	7
3. График аппроксимации зависимости уровня поверхности жидкости $h(x)$ от координаты x	7
3 Анализ влияния неопределенностей на результат интерполяции	10
1. Базисный полином Лагранжа	10
2. Интерполяционный полином Лагранжа	10
3. Анализ влияния погрешности на интерполяцию (абсциссы узлов) . . .	10
4. Анализ влияния погрешности на интерполяцию (ординаты узлов) . . .	14
5. Анализ влияния погрешности на интерполяцию (кубический сплайн) .	17
4 Заключение	26

Интерполяция в условиях измерений с неопределенностью (вариант 5)

Задание

Базовая часть

1. Разработать функцию $qubic_spline_coeff(x_nodes, y_nodes)$, которая посредством решения матричного уравнения вычисляет коэффициенты естественного кубического сплайна.
2. Написать функции $qubic_spline(x, qs_coeff)$ и $d_qubic_spline(x, qs_coeff)$, которые вычисляют соответственно значение кубического сплайна и его производной в точке x (qs_coeff обозначает матрицу коэффициентов).
3. Используя данные в таблице (Рис. 2), требуется построить аппроксимацию зависимости уровня поверхности жидкости $h(x)$ от координаты x с помощью кубического сплайна и продемонстрировать ее на графике вместе с исходными узлами.

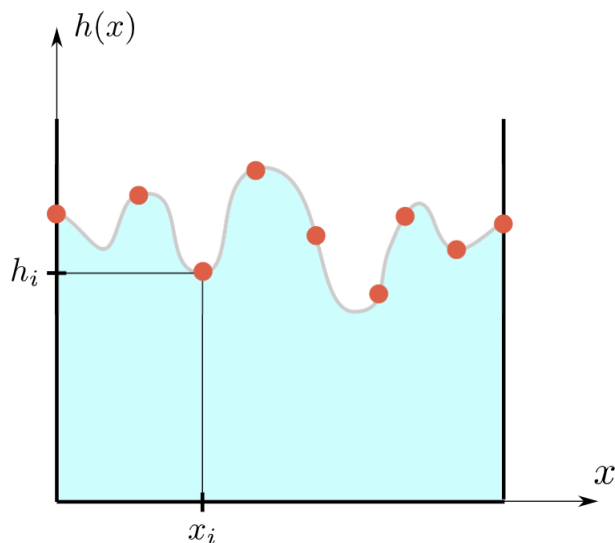


Рис. 1. Поверхность вязкой жидкости (серая кривая), движущейся сквозь некоторую среду (например, пористую). Её значения известны только в нескольких точках(красные узлы)

i	1	2	3	4	5	6	7	8	9	10	11
x_i	0	0.1	0.2	0.3	0.4	0.5	0.6	0.7	0.8	0.9	1
h_i	3.37	3.95	3.73	3.59	3.15	3.15	3.05	3.86	3.60	3.70	3.02

Рис. 2. Значения уровня поверхности вязкой жидкости

Продвинутая часть

1. Разработать функцию $l_i(i, x, x_nodes)$, которая возвращает значение i – базисного полинома Лагранжа, заданного на узлах с абсциссами x_nodes , в точке x .
2. Написать функцию $L(x, x_nodes, y_nodes)$, которая возвращает значение интерполяционного полинома Лагранжа, заданного на узлах с абсциссами x_nodes и ординатами y_nodes , в точке x .
3. Известно, что при измерении координаты x_i всегда возникает погрешность, которая моделируется случайной величиной с нормальным распределением с нулевым математическим ожиданием и стандартным отклонением 10^{-2} . Требуется провести следующий анализ, позволяющий выявить влияние этой погрешности на интерполяцию:
 - (а) Сгенерировать 1000 векторов значений $[\tilde{x}_1, \dots, \tilde{x}_{11}]^T$, предполагая, что $\tilde{x}_i = x_i + Z$ соответствует значению в таблице 1 и Z является случайной величиной с нормальным распределением с нулевым математическим ожиданием и стандартным отклонением 10^{-2} .
 - (б) Для каждого из полученных векторов построить интерполянт Лагранжа, предполагая, что в качестве абсцисс узлов используются значения \tilde{x}_i , а ординат – h_i из таблицы 1. В результате вы должны иметь 1000 различных интерполянтов.
 - (в) Предполагая, что все интерполянты представляют собой равновероятные события, построить такие функции $\tilde{h}_l(x)\tilde{h}_u(x)$, где $\tilde{h}_l(x) < \tilde{h}_u(x)$ для любого $x \in [0; 1]$, что вероятность того, что значение интерполянта в точке x будет лежать в интервале $[\tilde{h}_l(x); \tilde{h}_u(x)]$ равна 0.9.
 - (г) Отобразить на едином графике функции $\tilde{h}_l(x), \tilde{h}_u(x)$ усредненный интерполянт и узлы из таблицы 1.
 - (е) Какие участки интерполянта и почему являются наиболее чувствительными к погрешностям?
4. Повторить анализ, описанный в предыдущем пункте, в предположении, что координаты x_i вам известны точно, в то время как измерения уровня поверхности h_i имеют ту же погрешность, что и в предыдущем пункте. Изменились ли выводы вашего анализа?

5. Повторить два предыдущие пункта для случая интерполяции кубическим сплайном. Какие выводы вы можете сделать, сравнив результаты анализа для интерполяции Лагранжа и интерполяции кубическим сплайном?

1 Цель выполнения лабораторной работы

Цель выполнения лабораторной работы – знакомство с интерполяцией в целом (базовая часть), анализ влияния неопределенностей на ее результат (продвинутая часть)

2 Знакомство с интерполяцией

1. Коэффициенты естественного кубического сплайна

Разработаем функцию *qubic_spline_coeff(x_nodes, y_nodes)*, которая посредством решения матричного уравнения вычисляет коэффициенты естественного кубического сплайна. Однако, для большего удобства будем возвращать матрицу размерности $(N - 1) * 4$, где N - кол-во узлов интерполяции. Составление и решение матричного уравнения $As = b$ и дальнейшее использование коэффициента кубического сплайна s для нахождения других коэффициентов: a, b, d происходит согласно материалу и формулам, представленным в лекциях.

```
1 def qubic_spline_coeff(x_nodes, y_nodes):
2     N = len(x_nodes)
3     A = [[0] * N for i in range(0, N)]
4     A[0][0] = 1
5     A[N-1][N-1] = 1
6     a = [y_nodes[i] for i in range(0, N)]
7     h = np.array([x_nodes[i + 1] - x_nodes[i] for i in range(0, N-1)])
8     b = np.array([0] + [((3 / h[i] * (a[i + 1] - a[i]) - (3 / h[i - 1] * (a[i] - a[i - 1])))) for
9         i in range(1, N-1)] + [0])
10    for i in range(1, N-1):
11        A[i][i-1] = h[0]
12        A[i][i] = 2*(h[0] + h[1])
13        A[i][i+1] = h[1]
14
15    A_inv = np.linalg.inv(A)
16    c = A_inv @ b
17
18    res = np.zeros((N-1, 4))
19
20    for i in range(0, N-1):
21        res[i][0] = a[i]
22        res[i][1] = ((1 / h[i]) * (a[i+1] - a[i]) - (h[i] / 3) * (c[i+1] + 2*c[i]))
23        res[i][2] = c[i]
24        res[i][3] = (c[i+1] - c[i]) / (3 * h[i])
25
26    return res
```

2. Значение кубического сплайна и его производной в точке

Напишем функции $qubic_spline(x, qs_coeff)$ и $d_qubic_spline(x, qs_coeff)$, которые вычисляют соответственно значение кубического сплайна и его производной в точке x (qs_coeff обозначает матрицу коэффициентов). Аналогично п. 1, формула для кубического сплайна берется из лекций, формула для производной кубического сплайна получается, соответственно, посредством дифференцирования формулы для кубического сплайна.

$S_i(x_i) = a_i + b_i(x - x_i) + c_i(x - x_i)^2 + d_i(x - x_i)^3$ - формула кубического сплайна

$S'_i(x_i) = b_i + 2c_i(x - x_i) + 3d_i(x - x_i)^2$ - формула производной кубического сплайна

```
1 def qubic_spline(x_nodes, x, qs_coeff):
2
3     for i in range(0, len(x_nodes)-1):
4         if (x_nodes[i] <= x <= x_nodes[i+1]):
5             k = i
6             x_wk = x
7             break
8
9     S_i = qs_coeff[k][0] + qs_coeff[k][1] * (x_wk - x_nodes[k]) + qs_coeff[k][2] * ((x_wk
10         - x_nodes[k])**2) + qs_coeff[k][3] * ((x_wk - x_nodes[k])**3)
11
12     return S_i
13
14 def d_qubic_spline(x_nodes, x, qs_coeff):
15     for i in range(0, len(x_nodes)-1):
16         if (x_nodes[i] <= x <= x_nodes[i+1]):
17             k = i
18             break
19
20     Sd_i = qs_coeff[k][1] + 2 * qs_coeff[k][2] * (x - x_nodes[k]) + 3 * qs_coeff[k][3] *
        ((x - x_nodes[k])**2)
21
22     return Sd_i
```

3. График аппроксимации зависимости уровня поверхности жидкости $h(x)$ от координаты x

В данном задании необходимо, используя данные в таблице (Рис. 2), построить аппроксимацию зависимости уровня поверхности жидкости $h(x)$ от координаты x с помощью кубического сплайна и продемонстрировать ее на графике вместе с исходными узлами. Осуществим все это с помощью ранее созданных функций. При этом сгенерируем 1000 точек на отрезке $[0;1]$ с помощью функции библиотеки *numpy* языка *Python*.

```
1 x = np.linspace(x_nodes[0], x_nodes[10], 1000)
2 y = [qubic_spline(x_nodes, x[i], res) for i in range(0, len(x))]
3 plt.subplots(figsize = (10, 10))
```

```
4 plt.plot(x, y, color = 'black')
5 plt.scatter(x_nodes, y_nodes, color = 'blue', label = 'Интерполяционные узлы')
6 plt.legend()
7 plt.grid()
```

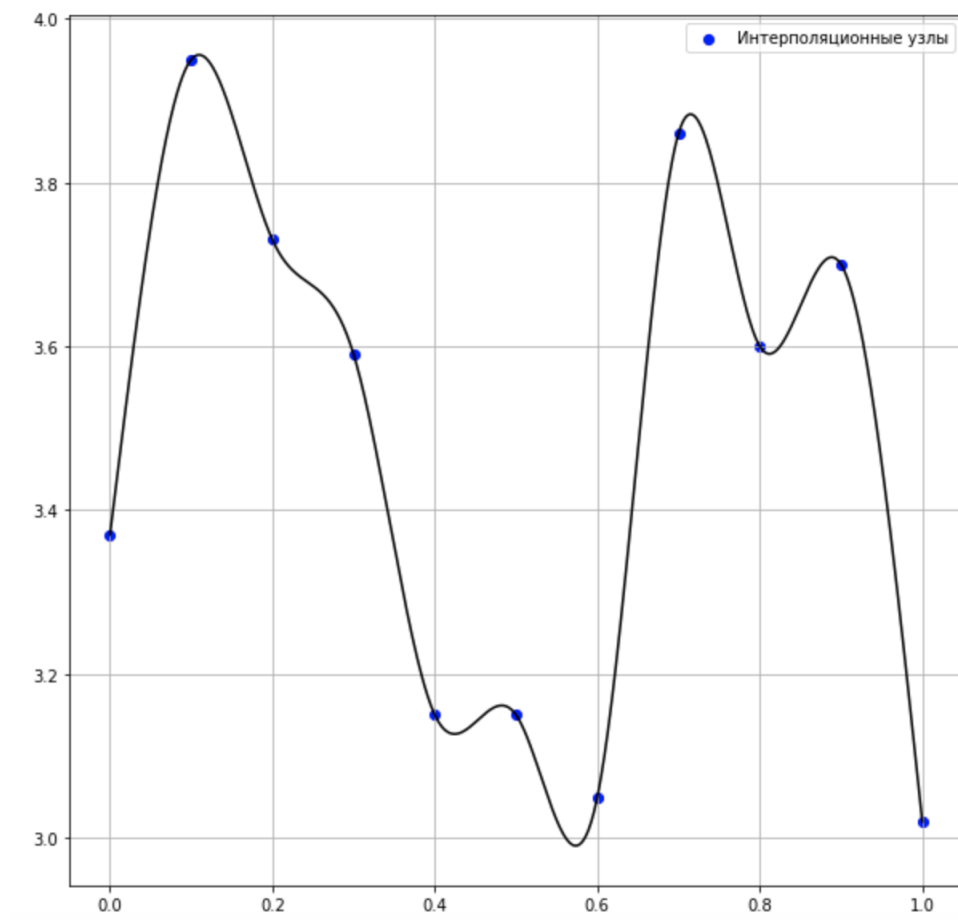


Рис. 3. Аппроксимация зависимости уровня поверхности жидкости $h(x)$ от координаты x с помощью кубического сплайна. Исходные интерполяционные узлы отмечены синим цветом.

Для большей наглядности, приложу график производной кубического сплайна, построенного на том же наборе точек, что и график кубического сплайна.

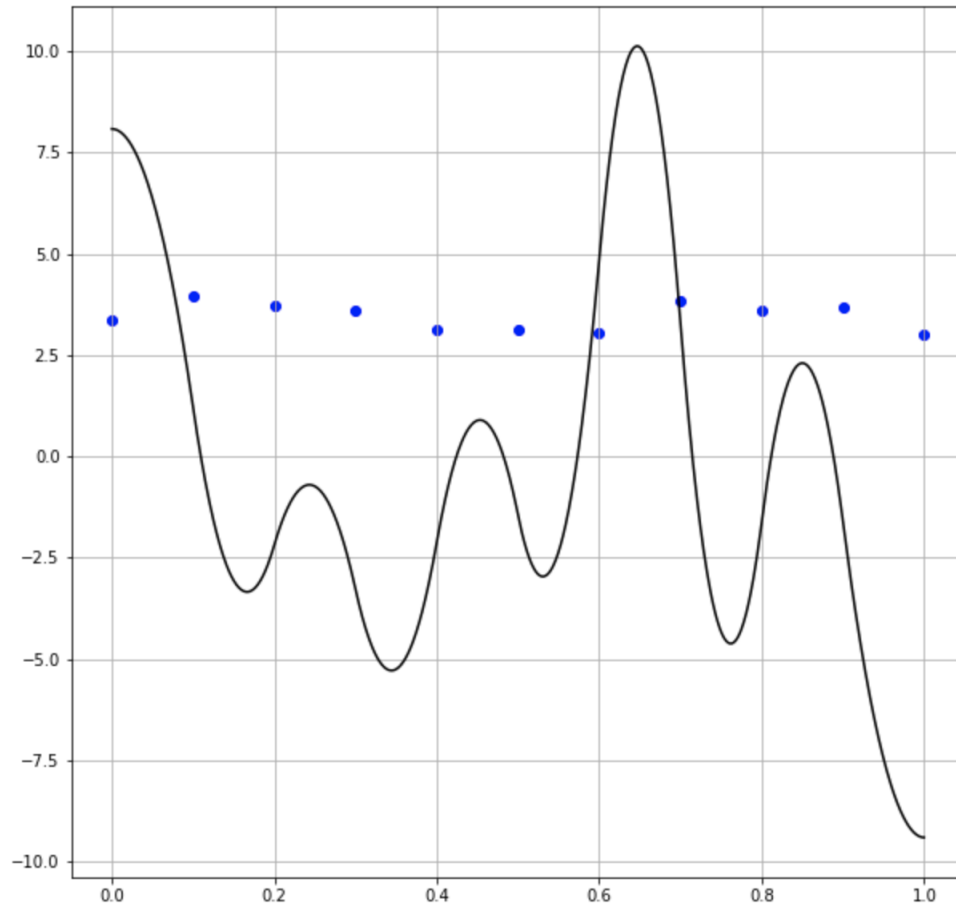


Рис. 4. Производная аппроксимации зависимости уровня поверхности жидкости $h(x)$ от координаты x с помощью кубического сплайна. Исходные интерполяционные узлы отмечены синим цветом.

3 Анализ влияния неопределенностей на результат интерполяции

1. Базисный полином Лагранжа

Согласно заданию, разработаем функцию $l_i(i, x, x_nodes)$, которая возвращает значение i -го базисного полинома Лагранжа, заданного на узлах с абсциссами x_nodes , в точке x . Формула для i – базисного полинома Лагранжа представлена в лекциях.

```
1 def l_i(i, x, x_nodes):
2     num = 1
3     den = 1
4     for k in range(0, len(x_nodes)):
5         if k == i:
6             pass
7         else:
8             num = num * (x - x_nodes[k])
9
10    for k in range(0, len(x_nodes)):
11        if k == i:
12            pass
13        else:
14            den = den * (x_nodes[i] - x_nodes[k])
15    l = num / den
16    return l
```

2. Интерполяционный полином Лагранжа

Согласно заданию, разработаем функцию $L(x, x_nodes, y_nodes)$, которая возвращает значение интерполяционного полинома Лагранжа, заданного на узлах с абсциссами x_nodes и ординатами y_nodes , в точке x . Формула для интерполяционного полинома Лагранжа представлена в лекциях.

```
1 def L(x, x_nodes, y_nodes):
2     L_a = 0
3     for i in range(0, len(x_nodes)):
4         L_a = L_a + l_i(i, x, x_nodes) * y_nodes[i]
5     return L_a
```

3. Анализ влияния погрешности на интерполяцию (абсциссы узлов)

а. Генерация 1000 векторов значений $[\tilde{x}_1, \dots, \tilde{x}_{11}]^T$

Согласно заданию, необходимо: сгенерировать 1000 векторов значений $[\tilde{x}_1, \dots, \tilde{x}_{11}]^T$, предполагая, что $\tilde{x}_i = x_i + Z$ соответствует значению в таблице 1 и Z является

случайной величиной с нормальным распределением с нулевым математическим ожиданием и стандартным отклонением 10^{-2} .

Предварительно создадим матрицу необходимой размерности, затем заполним ее, таким образом, что каждый элемент будет иметь вид: $vecs[i][j] = x_nodes[j] + np.random.normal(0, 0.01)$ После этого, транспонируем матрицу "иксов" с погрешностями, т. к. в условии каждый вектор имеет именно столбец координат узлов по оси абсцисс, а не строку.

Библиотечная функция *np.random.normal* модуля *numpy* возвращает образцы нормального распределения, согласно заданным параметрам.

```
1 vecs = [[0] * 11 for i in range (0,1000)]
2 for i in range (0,1000):
3     for j in range (0, 11):
4         vecs[i][j] = x_nodes[j] + np.random.normal(0, 0.01)
5 vecs = np.transpose(vecs)
6 vecs = np.array(vecs)
```

б. Интерполянты Лагранжа для каждого из векторов

Необходимо для каждого из ранее полученных векторов (координаты абсцисс с погрешностью, координаты ординат - нет) построить интерполянт Лагранжа. В результате необходимо получить 1000 графиков. Будем это осуществлять с помощью ранее разработанной функции $L(x, x_nodes, y_nodes)$.

```
1 x_int = np.linspace(0, 1, 1000)
2 interp_lagr = [[L(x_int[i], vecs[:, j], y_nodes) for i in range (0, len(x_int))] for j in range
3                 (0, 1000)]
4 interp_lagr = np.array(interp_lagr)
5 plt.subplots(figsize = (10, 10))
6 for i in range (0, 100):
7     plt.plot(x_int, interp_lagr[i, :])
8 plt.grid()
```

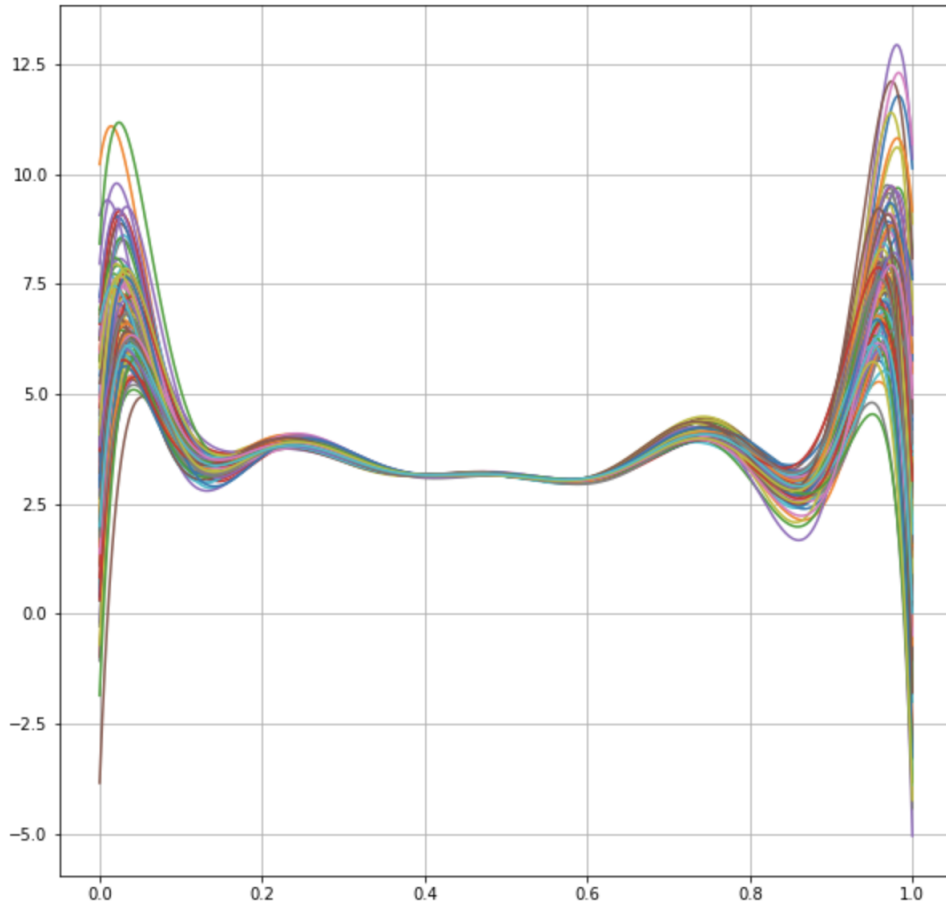


Рис. 5. 1000 интерполянтов Лагранжа, построенных на узлах $[\tilde{x}_1, \dots, \tilde{x}_{11}]_i, y_nodes$

с. Построение функций $\tilde{h}_l(x)$ и $\tilde{h}_u(x)$ (аналитический вид)

Необходимо построить функции $\tilde{h}_l(x)\tilde{h}_u(x)$, где $\tilde{h}_u(x) < \tilde{h}_l(x)$ для любого $x \in [0; 1]$, что вероятность того, что значение интерполянта в точке x будет лежать в интервале $[\tilde{h}_l(x); \tilde{h}_u(x)]$ равна 0.9.

Осуществим это с помощью функции *percentile* модуля *numpy*.

Алгоритм следующий:

1. Находим срез значений ординат интерполянтов в конкретной точке
2. Находим заданный перцентиль
3. Повторяем для каждой точки

В итоге получаем набор значений ординат интерполянтов, которые соответствуют заданному перцентиле. Для решения данной задачи я выбрал перцентиль 5 и, соответственно, 95.

```
1 p_95 = [np.percentile(interp_lagr[:, i], 95) for i in range (0, 100)]
2 p_5 = [np.percentile(interp_lagr[:, i], 5) for i in range (0, 100)]
```

d. Отображение функций $\tilde{h}_l(x)$, $\tilde{h}_u(x)$ и усредненного интерполянта, а также интерполяционных узлов

Для решения данной задачи, необходимо отобразить функции $\tilde{h}_l(x)$, $\tilde{h}_u(x)$ и усредненный интерполянт, и, кроме того, интерполяционные узлы. Функции $\tilde{h}_l(x)$, $\tilde{h}_u(x)$ были найдены в прошлом пункте, а усредненный интерполянт находится путем нахождения перцентиля 50. Алгоритм его нахождения аналогичен описанному ранее.

```
1 mean = [np.percentile(interp_lagr[:, i], 50) for i in range (0, 1000)]
2 plt.subplots(figsize = (10, 10))
3
4 plt.plot(x_int, p_95, label = "h_u(x)")
5 plt.plot(x_int, p_5, label = "h_l(x)")
6 plt.plot(x_int, mean, label = "Усредненный интерполянт")
7 plt.scatter(x_nodes, y_nodes, color = 'blue', label = 'Интерполяционные узлы')
8 plt.legend()
9 plt.grid()
```

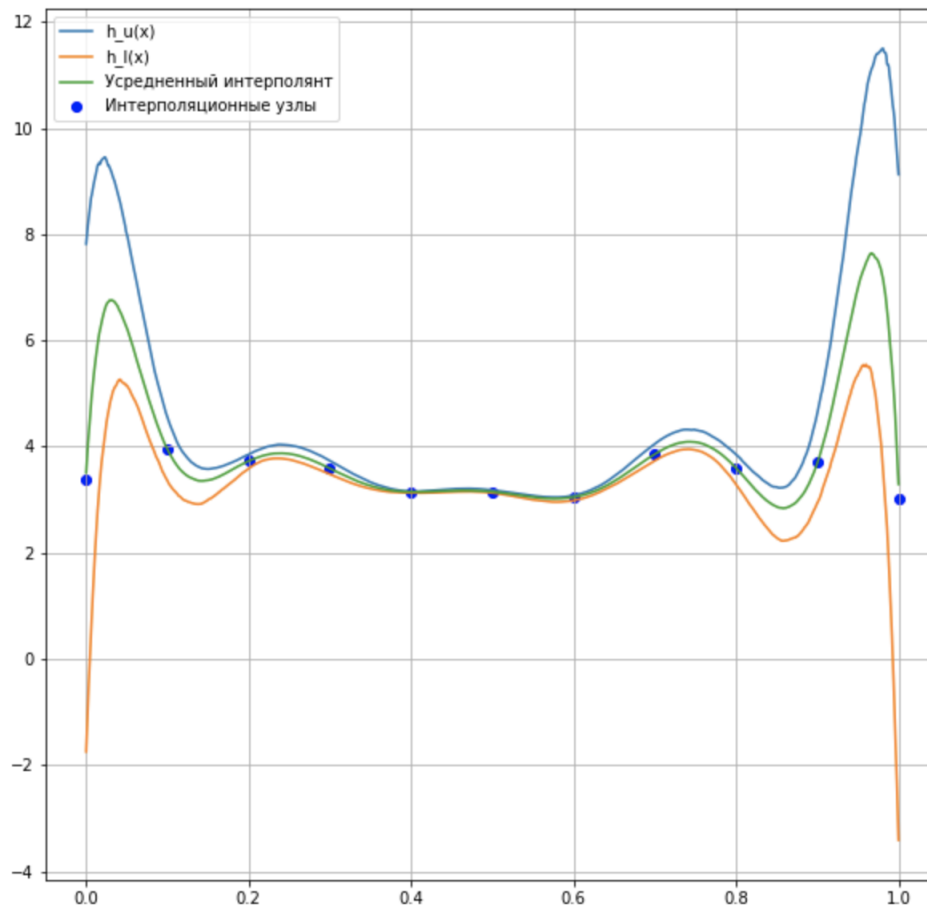


Рис. 6. Функции $\tilde{h}_l(x)$, $\tilde{h}_u(x)$, усредненный интерполянт. Интерполяционные узлы отмечены синим.

е. Какие участки интерполянта и почему являются наиболее чувствительными к погрешностям?

Паразитные осцилляции, возникающие при интерполяции полиномом Лагранжа, очень сильно проявляются на концах отрезка и слабо в середине. Проблема такого поведения, заключается в базисных полиномах Лагранжа, именно ближе к концам отрезка интерполирования *"группируются"* их экстремумы. Что, собственно, приводит к сильному проявлению паразитных осцилляций.

4. Анализ влияния погрешности на интерполяцию (ординаты узлов)

а. Генерация 1000 векторов значений $[\tilde{y}_1, \dots, \tilde{y}_{11}]^T$

Пункт выполняется аналогично пункту *3а*

```

1 vecs1 = [[0] * 11 for i in range (0,1000)]
2 for i in range (0,1000):
3     for j in range (0, 11):
4         vecs1[i][j] = y_nodes[j] + np.random.normal(0, 0.01)
5 vecs1 = np.transpose(vecs1)
6 vecs1 = np.array(vecs1)

```

б. Интерполянты Лагранжа для каждого из векторов

Необходимо для каждого из ранее полученных векторов (координаты абсцисс - нет, координаты ординат с погрешностью) построить интерполянт Лагранжа. В результате необходимо получить 1000 графиков. Решение аналогично пункту 3б.

```

1 x_int = np.linspace(0, 1, 100)
2 interp_lagr = [[L(x_int[i], x_nodes, vecs1[:, j]) for i in range (0, len(x_int))] for j in
3                 range (0, 1000)]
4 interp_lagr = np.array(interp_lagr)
4 plt.subplots(figsize = (10, 10))
5 for i in range (0, 1000):
6     plt.plot(x_int, interp_lagr[i , :])
7
8 plt.grid()

```

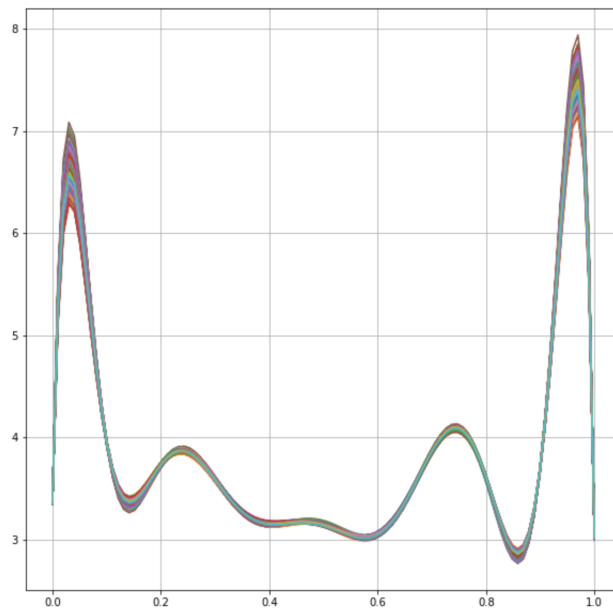


Рис. 7. 1000 интерполянтов Лагранжа, построенных на узлах x_nodes , $[\tilde{y}_1, \dots, \tilde{y}_{11}]_i$

с. Построение функций $\tilde{h}_l(x)$ и $\tilde{h}_u(x)$ (аналитический вид)

Необходимо построить функции $\tilde{h}_l(x)\tilde{h}_u(x)$, где $\tilde{h}_u(x) < \tilde{h}_l(x)$ для любого $x \in [0; 1]$, что вероятность того, что значение интерполянта в точке x будет лежать в интервале $[\tilde{h}_l(x); \tilde{h}_u(x)]$ равна 0.9.

Осуществим это с помощью функции *percentile* модуля *numpy*.

Алгоритм дальнейшего нахождения данных функций совпадает с алгоритмом *Зс*

```
1 p_95 = [np.percentile(interp_lagr[:, i], 95) for i in range(0, 100)]
2 p_5 = [np.percentile(interp_lagr[:, i], 5) for i in range(0, 100)]
```

д. Отображение функций $\tilde{h}_l(x)$, $\tilde{h}_u(x)$ и усредненного интерполянта, а также интерполяционных узлов

Для решения данной задачи, необходимо отобразить функции $\tilde{h}_l(x)$, $\tilde{h}_u(x)$ и усредненный интерполянт, и, кроме того, интерполяционные узлы. Функции $\tilde{h}_l(x)$, $\tilde{h}_u(x)$ были найдены в прошлом пункте, а усредненный интерполянт находится путем нахождения перцентиля 50. Алгоритм его нахождения аналогичен описанному ранее.

```
1 mean = [np.percentile(interp_lagr[:, i], 50) for i in range(0, 100)]
2 plt.plot(x_int, p_95, label = "h_u(x)")
3 plt.plot(x_int, p_5, label = "h_l(x)")
4 plt.plot(x_int, mean, label = "Усредненный интерполянт")
5 plt.scatter(x_nodes, y_nodes, color = 'blue', label = 'Интерполяционные узлы')
6 plt.legend()
7 plt.grid()
```

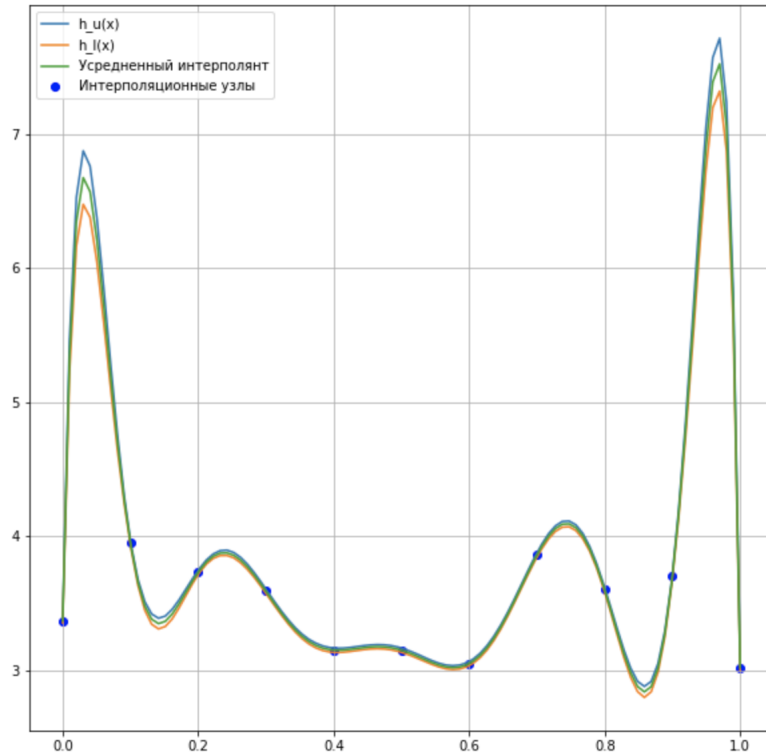


Рис. 8. Функции $\tilde{h}_l(x)$, $\tilde{h}_u(x)$, усредненный интерполянт. Интерполяционные узлы отмечены синим.

е. Какие участки интерполянта и почему являются наиболее чувствительными к погрешностям? *Изменились ли выводы вашего анализа?

Аналогично пункту *Зе*, наибольшие паразитные осцилляции наблюдаются ближе к концам отрезка интерполяции. Причина этого - аналогична пункту *Зе* и заключается в базисных полиномах Лагранжа.

В целом, мои выводы не изменились, однако в данном случае, паразитные осцилляции имеют даже большую видимость, нежели в предыдущем пункте *Зе*. Это связано с тем, что значения ординат узлов, на которые умножаются базисные полиномы лагранжа, имеют некоторую погрешность из нормального распределения.

5. Анализ влияния погрешности на интерполяцию (кубический сплайн)

1.а. Генерация 1000 векторов значений $[\tilde{x}_1, \dots, \tilde{x}_{11}]^T$

Пункт выполняется аналогично пункту *За*

```

1 vecs_x_spl = [[0] * 11 for i in range (0,1000)]
2 for i in range (0,1000):
3     for j in range (0, 11):
4         vecs_x_spl[i][j] = x_nodes[j] + np.random.normal(0, 0.01) #x_nodes with errors
5 vecs_x_spl = np.transpose(vecs_x_spl)
6 vecs_x_spl = np.array(vecs_x_spl)

```

1.b. Кубические интерполянты для каждого из векторов

Идейно данный пункт совпадает с пунктом 3 b, однако в данном пункте используется другой способ интерполяции - кубический сплайн. Кроме того, в контексте данной задачи, необходимо модифицировать функцию *qubic_spline(x, qs_coeff)* и добавить дополнительный аргумент - *x_nodes*, т. к. каждый из сплайнов строится на своем отрезке $[\tilde{x}_1, \dots, \tilde{x}_{11}]^T$. Кроме того, т. к. потенциально значения $[\tilde{x}_1, \dots, \tilde{x}_{11}]^T$ могут располагаться вне отрезка $[0;1]$ или же, не покрывать его полностью, было принято решение в теле функции *qubic_spline(x_nodes, x, qs_coeff)* учесть этот момент и ввести превентивные меры:

```

1 def qubic_spline(x_nodes, x, qs_coeff):
2     x_wk = 0 # if x < x_nodes[0]
3     k = 0 # if x < x_nodes[0]
4     for i in range (0, len(x_nodes)-1):
5         if (x_nodes [i] <= x <= x_nodes[i+1]):
6             k = i
7             x_wk = x
8             break
9     if (x>1):
10        x_wk = 1 # if x > x_nodes[len(x_nodes) - 1]
11        k = len(x_nodes) - 1 # if x > x_nodes[len(x_nodes) - 1]
12    S_i = qs_coeff[k][0] + qs_coeff[k][1] * (x_wk - x_nodes[k]) + qs_coeff[k][2] * ((x_wk
        - x_nodes[k])**2) + qs_coeff[k][3] * ((x_wk - x_nodes[k])**3)
13    return S_i

```

Алгоритм нахождения значений кубического сплайна в каждой точке:

1. Для каждого сплайна строится своя матрица коэффициентов, по своему набору узлов абсцисс, узлы ординат - общие для каждого сплайна
2. Для каждого сплайна в каждой промежуточной точке отрезка находится свое значение *i*-го интерполянта
3. После нахождения промежуточных значений для каждого сплайна, строится график, где отображаются все 1000 сплайнов на заданном отрезке

```

1 plt.subplots(figsize = (10, 10))
2
3 x_nod = np.linspace(x_nodes[0], x_nodes[10], 1000)
4 for i in range (0, 1000):
5
6     matrix = cubic_spline_coeff(vecs_x_spl[:, i], y_nodes)
7     S = [cubic_spline(vecs_x_spl[:, i], x_nod[j], matrix) for j in range (0, len(x_nod))]
8     plt.plot (x, S)
9
10 plt.scatter(x_nodes, y_nodes, color = 'blue', label = 'Интерполяционные узлы')
11 plt.legend()
12 plt.grid()

```

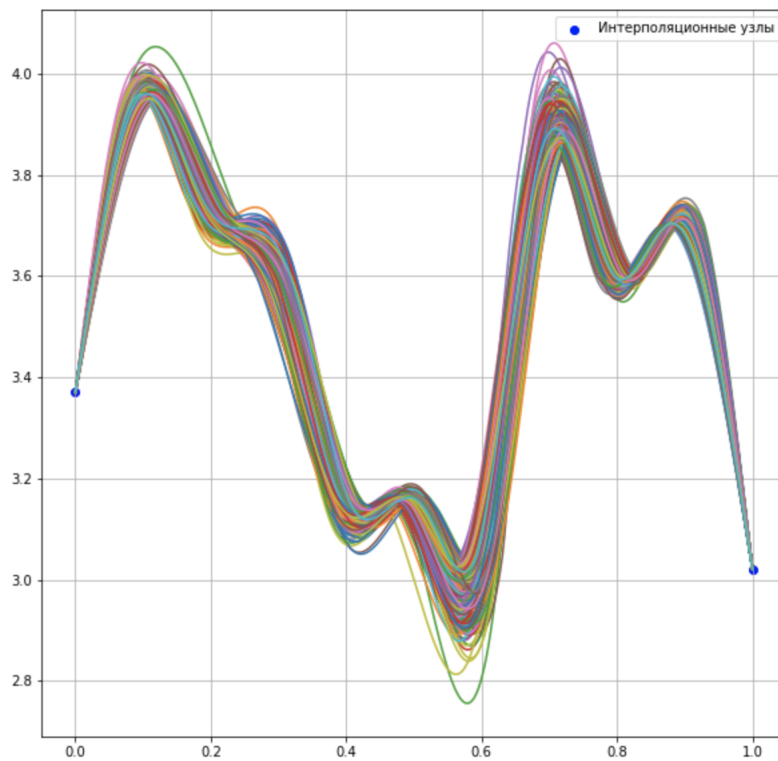


Рис. 9. 1000 графиков для Интерполяции кубическим сплайном, построенных на узлах $[\tilde{x}_1, \dots, \tilde{x}_{11}]_i, y_nodes$

1.с. Построение функций $\tilde{h}_l(x)$ и $\tilde{h}_u(x)$ (аналитический вид)

Необходимо построить функции $\tilde{h}_l(x)\tilde{h}_u(x)$, где $\tilde{h}_u(x) < \tilde{h}_u(x)$ для любого $x \in [0; 1]$, что вероятность того, что значение интерполанта в точке x будет лежать в интервале $[\tilde{h}_l(x); \tilde{h}_u(x)]$ равна 0.9.

Идейно данный пункт схож с пунктом 3.с (аналогичное использование функции *np.percentile*, однако, т. к. используется другой способ интерполяции, то имеются свои корректировки.

Алгоритм:

1. Создаем пустую матрицу, размерности $1000 \times N$, где N - кол-во промежуточных точек
2. Для каждого сплайна находим свою матрицу коэффициентов
3. Заполняем матрицу значений сплайна в точке для каждой промежуточной точки и сплайна. В результате получится матрица, содержащая значение каждого сплайна в каждой промежуточной точке
4. Процесс нахождения необходимых значений перцентилей аналогичен пункту 3.с

```

1 x_int = np.linspace(0, 1, 1000)
2 S_res = np.zeros((1000, len(x_int)))
3 for i in range(0, 1000):
4     matrix = cubic_spline_coeff(vecs_x_spl[:, i], y_nodes)
5     for j in range(0, len(x_int)):
6         S_res[i, j] = cubic_spline(vecs_x_spl[:, i], x_int[j], matrix)
7 print(np.shape(S_res))

```

1.d. Отображение функций $\tilde{h}_l(x)$, $\tilde{h}_u(x)$ и усредненного интерполянта, а также интерполяционных узлов

Отобразим на едином графике необходимые функции

```

1 p_95 = [np.percentile(S_res[:, i], 95) for i in range(0, 1000)]
2 p_5 = [np.percentile(S_res[:, i], 5) for i in range(0, 1000)]
3 mean = [np.percentile(S_res[:, i], 50) for i in range(0, 1000)]
4 plt.subplots(figsize = (10, 10))
5
6 plt.plot(x_int, p_95)
7 plt.plot(x_int, p_5)
8 plt.plot(x_int, mean)
9 plt.scatter(x_nodes, y_nodes, color = 'blue', label = 'Интерполяционные узлы')
10 plt.legend()
11 plt.grid()

```

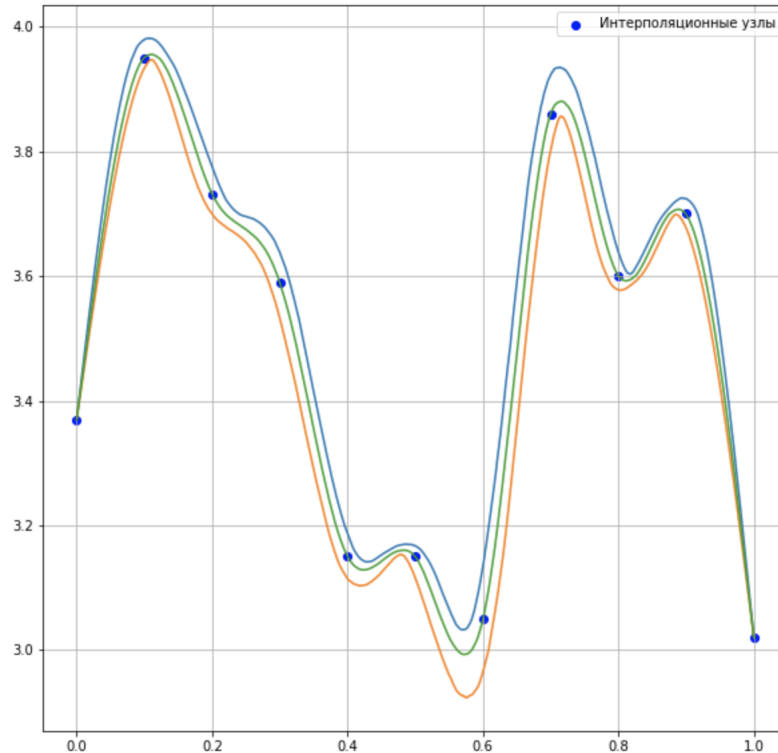


Рис. 10. Функции $\tilde{h}_l(x)$, $\tilde{h}_u(x)$, усредненный интерполянт. Интерполяционные узлы отмечены синим.

1.е. Какие участки интерполянта и почему являются наиболее чувствительными к погрешностям? *Изменились ли выводы вашего анализа?

Паразитных осцилляций практически не наблюдается, кроме того, нет тенденции их появления ближе к концам отрезка интерполяции. Причина, почему при интерполяции кубическими сплайнами, паразитных осцилляций меньше чем при интерполяции полиномом Лагранжа, заключается в самом методе аппроксимации - при интерполяции Лагранжа, мы пытаемся аппроксимировать функцию многочленом высокой степени, причем всю функцию сразу. При интерполяции кубическими сплайнами, мы аппроксимируем полиномом заданной степени (не большой, например - в нашем случае: 3) и кроме того, мы аппроксимируем этим полиномом не весь рассматриваемый отрезок, а лишь его часть. То есть вся интерполяция в данном случае получается путем "склеивания" достаточно гладких "кусочков" сплайна, что и приводит к существенно меньшим осцилляциям, ошибкам.

2.а Генерация 1000 векторов значений $[\tilde{y}_1, \dots, \tilde{y}_{11}]^T$

Пункт выполняется аналогично пункту 5.1.а, за тем исключением, что погрешность

добавляется не к абсциссам, а к ординатам узлов.

```
1 vecs_y_spl = [[0] * 11 for i in range (0,1000)]
2 for i in range (0,1000):
3     for j in range (0, 11):
4         vecs_y_spl[i][j] = y_nodes[j] + np.random.normal(0, 0.01) #y_nodes with errors
5 vecs_y_spl = np.transpose(vecs_y_spl)
6 vecs_y_spl = np.array(vecs_y_spl)
7 print(np.shape(vecs_y_spl))
```

2.b. Кубические интерполянты для каждого из векторов

Пункт аналогичен пункту 5.1.b.

```
1 plt.subplots(figsize = (10, 10))
2
3 x_nod = np.linspace(x_nodes[0], x_nodes[10], 1000)
4 for i in range (0, 1000):
5     matrix = cubic_spline_coeff(x_nodes, vecs_y_spl[:, i])
6     S = [cubic_spline(x_nodes, x_nod[j], matrix) for j in range (0, len(x_nod))]
7     plt.plot (x, S)
8
9 plt.scatter(x_nodes, y_nodes, color = 'blue', label = 'Интерполяционные узлы')
10 plt.legend()
11 plt.grid()
```

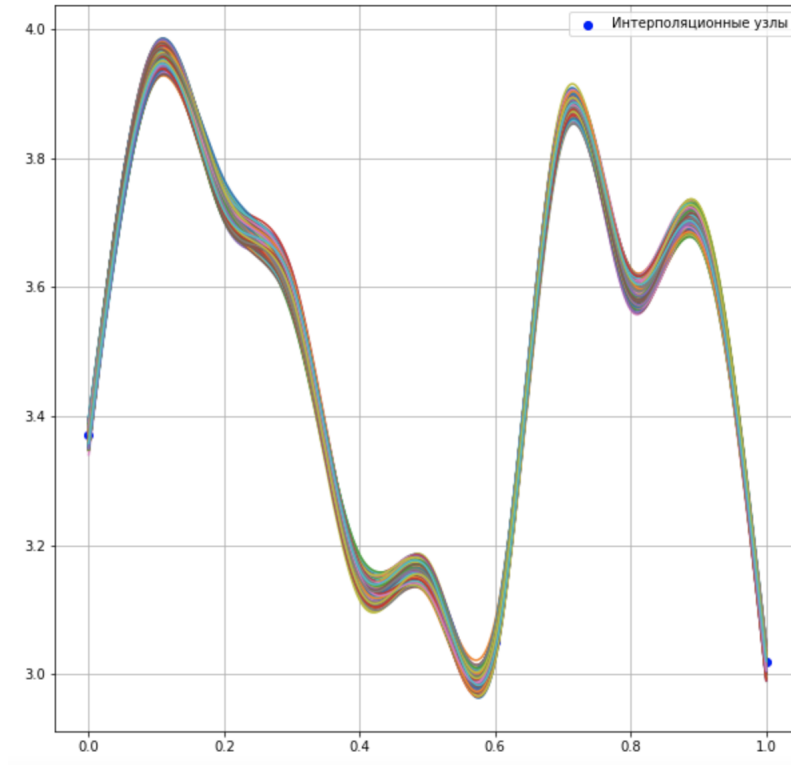


Рис. 11. 1000 графиков для Интерполяции кубическим сплайном, построенных на узлах $(x_nodes), [\tilde{y}_1, \dots, \tilde{y}_{11}]^T$

2.с. Построение функций $\tilde{h}_l(x)$ и $\tilde{h}_u(x)$ (аналитический вид)

Пункт аналогичен пункту 5.1.с.

Отличие лишь в том, что в пункте 5.1.с абсциссы узлов с погрешностями, а в этом пункте - ординаты узлов с погрешностями.

```

1 x_int = np.linspace(0, 1, 1000)
2 S_res1 = np.zeros((1000, len(x_int)))
3 for i in range(0, 1000):
4     matrix = cubic_spline_coeff(x_nodes, vecs_y_spl[:, i])
5     for j in range(0, len(x_int)):
6         S_res1[i, j] = cubic_spline(x_nodes, x_int[j], matrix)

```

2.d. Отображение функций $\tilde{h}_l(x)$, $\tilde{h}_u(x)$ и усредненного интерполянта, а также интерполяционных узлов

Отобразим на едином графике необходимые функции

```

1 p_95 = [np.percentile(S_res1[:, i], 95) for i in range (0, 1000)]
2 p_5 = [np.percentile(S_res1[:, i], 5) for i in range (0, 1000)]
3 mean = [np.percentile(S_res1[:, i], 50) for i in range (0, 1000)]
4 plt.subplots(figsize = (10, 10))
5
6 plt.plot(x_int, p_95)
7 plt.plot(x_int, p_5)
8 plt.plot(x_int, mean)
9 plt.scatter(x_nodes, y_nodes, color = 'red', label = 'Интерполяционные узлы')
10 plt.legend()
11 plt.grid()

```

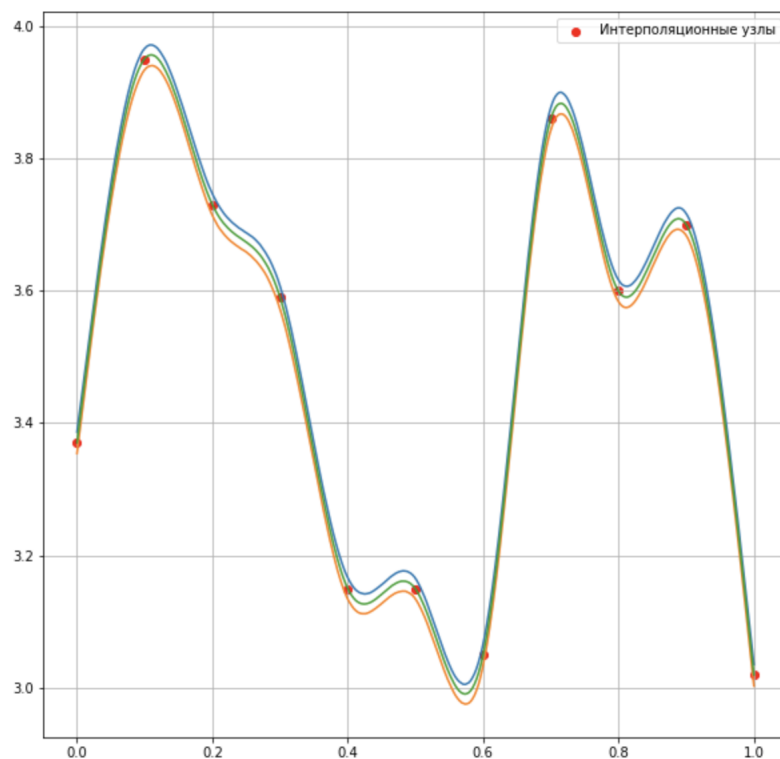


Рис. 12. Функции $\tilde{h}_l(x)$, $\tilde{h}_u(x)$, усредненный интерполянт. Интерполяционные узлы отмечены красным.

2.е. Какие участки интерполянта и почему являются наиболее чувствительными к погрешностям? *Изменились ли выводы вашего анализа?

Выводы аналогично пункту 5.1.е, кроме того, в данном случае паразитных осцилляций еще меньше, что свидетельствует о том, что погрешность ординат узлов

менее существенно влияет на итоговую интерполяцию, чем погрешность абсцисс узлов.

4 Заключение

В ходе данной лабораторной работы было сделано и изучено, а так же проанализировано:

1. Интерполяция в простейшем случае, применение интерполяции к реальным практическим задачам (ассоциация с вязкой жидкостью)
2. Осуществление интерполяции полиномом Лагранжа и кубическими сплайнами
3. Сравнение и анализ одного вида интерполяции при погрешностях разных координат узлов (абсцисс, ординат)
4. Сравнение и анализ разных видов интерполяции при погрешностях разных координат узлов (абсцисс, ординат)

В совокупности, данная лабораторная работа позволила лучше проработать материал, связанный с понятиями: аппроксимация, интерполяция, экстраполяция, полином Лагранжа, базисный полином Лагранжа, кубический сплайн, паразитные осцилляции, нормальное распределение, доверительный интервал, перцентиль.

Список использованных источников

1. Першин А.Ю. Лекции по курсу «Вычислительная математика». Москва, 2018-2021. С. 140.
2. Першин А. Ю. Видео-лекции по курсу "Вычислительная математика". Москва, 2021 https://www.youtube.com/channel/UC69GDhPVL_Y_7IXn3EhmcH2w
3. [Электронный ресурс] Wikipedia <https://ru.wikipedia.org/wiki/Квантиль>

Выходные данные

Степанов Н. Н.. Отчет о выполнении лабораторной работы по дисциплине «Вычислительная математика». [Электронный ресурс] — Москва: 2021. — 26 с. URL: <https://sa2systems.ru:88> (система контроля версий кафедры РК6)

Постановка: © ассистент кафедры РК-6, PhD А.Ю. Першин
Решение и верстка: © студент группы РК6-55Б, Степанов Н. Н.

2021, осенний семестр